

Gli oggetti dell'Area 33 a Shahr-i Sokhta

Enrico Ascalone

Georg-August-Universität Göttingen, Seminar für Ur- und Frühgeschichte

اشیاء کارگاه شماره ۳۳

انریکو اسکالونه

اشیاء و مواد فرهنگی بدست آمده از کارگاه شماره ۳۳ به خوبی داخل گاهنگاری تشخیص داده شده این کارگاه، که از طریق بررسی مجموعه سفالی روشن شده است می باشد. تمام این مواد از داخل لایه های باستانی کانتکست ها بدست آمده اند که اجازه می دهد که بخش های کاربردی جداگانه ساختمان شماره ۳۳ از یکدیگر تفکیک شوند. اشیاء مختلفی از جمله مهره های گوناگون از مواد متفاوتی که بیشتر آن ها سنگ های نیمه قیمتی هستند پیدا شده است. سنگ هایی چون عقیق، فیروزه، سنگ صابون، کالسیت، مرمر و سنگ لاجورد. یک مهر مستطیل مسطح با نقوش هندسی که در میان نقوش مهرهای شهرسوخته که توسط گروه باستان شناسی ایرانی در سال های ۱۳۷۶ تا ۱۳۹۵ پیدا شده بسیار رایج بوده نیز در میان این اشیاء وجود دارد. قطعات ظروف مرمری در جایی که تصور می رود بخش آشپزخانه ساختمان بوده است نیز از سایر اشیاء پیدا شده در این حفاری ها می باشد.

The objects from Area 33 are well inserted in the chronological framework identified for Building 33, according to the pottery assemblages and their comparisons. All the objects come from well stratified archaeological contexts allowing us to suggest an inner functional division in Building 33. Different kind of objects were found, in particular beads in different material, mainly semi-precious stones such as carnelian, turquoise, steatite, calcite, alabaster and lapis lazuli. A seal, rectangular in shape, with geometric decoration on their surface, has been found; a typology widely known in the Shahr-i Sokhta seal corpora collected during the earlier Iranian excavations carried out between 1997 and 2015. The presence of alabaster vessels is wide, mainly coming from the kitchen area in close relation with benches and working places for food preparation and cooking activities.

Gli oggetti rinvenuti durante la campagna di scavo svolta a Shahr-i Sokhta a novembre-dicembre 2017 sono complessivamente 149, di cui 5 appartenenti alla più arcaica fase occupazionale dell'edificio rinvenuti al di sotto dei piani pavimentali più superficiali in L.15, L.16 e L.17¹. Sebbene non possa essere questa la sede di analisi e studio dei singoli manufatti², solo semplici e preliminari considerazioni si possono avanzare per provare a presentare sinteticamente l'intero *corpus* di oggetti rinvenuto³.

Affianco ai frammenti di vaso in alabastro (si veda in questo volume il contributo di Silvia Festuccia), numerosi frammenti di selce lavorata (lame, punte di freccia, scarti di lavorazione e nuclei) sono stati rinvenuti per complessivi 24 oggetti (SiS.17.33.1-4, 11, 13, 18-19, 27, 32, 43, 49, 53-54, 56, 61, 63, 72-73, 83-85, 90, 114), quasi tutti rintracciati presso il settore settentrionale del *Building 33* destinato alla prima trasformazione del cibo e alla sua successiva cottura (assieme a numerosi frammenti in bronzo purtroppo talmente danneggiati, in alcuni casi polverizzati, da non permettere una loro precisa

1. Sulla loro distribuzione e contestualizzazione si veda il contributo dell'autore in questo stesso volume.

2. Affianco agli studi paleobotanici, archeozoologici, antropologici e topografico-ambientali, studi monografici su singole classi di oggetti sono stati assegnati ad alcuni componenti della missione: i punteruoli in osso ad Alberto Potenza, il vasellame in alabastro a Silvia Festuccia, sigilli e pesi da bilancia all'autore. Voglio profondamente ringraziare S.M.S. Sajjadi che ha supportato e reso disponibile lo studio del materiale raccolto dalla missione da lui diretta sin dal 1997.

3. La denominazione scelta per identificare gli oggetti scavati segue un ordine complessivo e consecutivo in cui si annovera il sito (SiS), l'anno del rinvenimento (17), l'area di provenienza (33) e il suo numero progressivo di scavo.

identificazione, se ci esclude il punteruolo SiS.17.33.92); particolare significato hanno le perle rinvenute in contesti archeologici diversi ma con una tipologia perlopiù omogenea da cercare principalmente in due principali morfologie, una perfettamente cilindrica per gli esemplari in steatite (SiS.17.33.50), alabastro (SiS.17.33.33, 66, 124), quarzo (SiS.17.33.70, 144), corniola (SiS.17.33.41) e turchese (SiS.17.33.30, 80) e una ovoidale conosciuta in SiS.17.33.46 (lapislazzuli) e SiS.17.33.123 (turchese). Mancano, allo stato attuale delle nostre ricerche, alcune tipologie riconosciute negli scavi passati, da cercarsi principalmente nella morfologia discoidale, “a losanga” e in quella lenticolare (cfr. con Tosi 1969a: 373-375; Sajjadi 2003a: 79-80).

Affianco ai pesi da bilancia rinvenuti (SiS.17.33.58, 64 e 127, tutti e tre sfendonoidi, due con base), che saranno trattati a parte (anche in Ascalone 2019), un sigillo a stampo in clorite/steatite trova agio in una classe tipologica ben conosciuta a Shahr-i Sokhta, in tutta la valle del fiume Hirmand e presso le oasi della Margiana (Ascalone 2018a). Il sigillo (SiS.17.33.24), quadrangolare ma non perfettamente quadrato, le cui misure sono di 3,7 x 4,0 cm per uno spessore di 0,6 cm, fu rinvenuto presso L.5, in un'area prospiciente il settore delle cucine (L.33, L.36, 37, L.43) e confinante con L.34 e L.35, due vani di assai modeste dimensioni che per il loro sviluppo strutturale; in assenza di materiale a causa della loro parziale indagine (i due vani scendono infatti sotto la parete di scavo), potrebbero essere pensati come aree atte alla conservazione delle derrate poi usate nei vani limitrofi localizzati subito ad est del complesso.

La morfologia del sigillo e il suo materiale di composizione segue una tipologia ampiamente attestata a Shahr-i Sokhta, dove sigilli con decorazioni geometriche, lineari, a losanghe, circolari, quadrate e “a croce”, perlopiù in clorite con due fori sul retro, sono già conosciuti (Piperno - Salvatori 2007: 209; Tosi 1968a: fig. 95; 1969a: fig. 264, 266-273; Sajjadi 2003a: 78, fig. 36; 2004a: 4; 2009: 240); medesima tipologia è stata identificata a Mundigak in quattro sigilli provenienti rispettivamente dal III.5, III.6 e IV periodo del sito (Casal 1961: 256-257, tav. 45: 3, 5, 7), in Margiana (a Dashly 1, Togolok, Gonur South, Taip 1, si veda anche Sarianidi 1986: nn. 1675.1-2; 1676.1-2, 1729.1 e Salvatori 2000: 103, fig. 7.7.1)⁴, Shahdad (Salvatori - Vidale 1982; Hakemi 1997) e Sibri nel Baluchistan

4. Per la bibliografia di riferimento si veda Salvatori 2000: 132.

(Jarrige 1985: fig. 5). Il sigillo di Shahr-i Sokhta sembra essere una produzione locale, la cui matrice deve riconoscersi lungo la valle dell'Hirmand, forse nella stessa Margiana dove tuttavia i sigilli in steatite di tipo quadrangolare, spesso bifacciali, mostrano avere tratti di più articolato sviluppo iconografico con figure animali ovvero mitologiche rappresentate sulla propria superficie. Questo gusto verso l'aniconicità, l'assenza di un impianto mitologico supportato da descrizioni figurative e narrative, lo stile geometrico, lineare, che s'impanta su una base quadrangolare, incisa nella steatite in cui due fori passanti sono da individuare sul retro dell'esemplare, deve considerarsi un tratto della cosiddetta civiltà dell'Hirmand, una peculiarità culturale che attraversa tutte quelle regioni solcate dal fiume Hirmand che hanno in Shahr-i Sokhta e Mundigak i due estremi poli culturali e probabilmente politici di quest'ampia porzione regionale (*contra* la coeva produzione conosciuta a Konar Sandal; Ascalone 2011: 331-360; 2012). Difficile fare considerazioni storiche più approfondite sull'utilizzo dell'aniconismo nella tradizione glittica dell'Hirmand, così come appaia decisamente prematuro creare una relazione tra la glittica geometrica di Shahr-i Sokhta (comprese le sue tipologie) e le classi dominanti del centro, sebbene sembri evidente che un nesso tra i gruppi umani presenti a Shahr-i Sokhta e le espressioni geometriche (assai stereotipate e ripetitive) dei suddetti sigilli possa esserci stato.

A confermare un coerente orizzonte culturale nella glittica di tutto il corso del fiume Hirmand vi è un sigillo rinvenuto nella stessa Mundigak, identico per morfologia, fattura e decorazione che, da una parte, aiuta a ipotizzare la presenza di elementi di riempimento o incrostazione lungo i solchi incisi sulla superficie del nostro stesso sigillo, dall'altra permette di trovare un esemplare del tutto identico a quello scavato presso il *Building 33* (Casal 1961: 257, tav. 45: 9). Il sigillo di Mundigak proviene da non meglio identificati strati appartenenti al IV periodo del sito che cronologicamente s'inserisce con agio nelle fasi cronologiche accertate per il *Building 33* da datare alla Fase 4, inizio Fase 3 del III periodo a Shahr-i Sokhta.

Identico esemplare è stato individuato nella Tomba 311 di Shahr-i Sokhta dove una sepoltura multipla caratterizzata da almeno 2 utilizzi in fasi diverse è stata scavata (Piperno - Salvatori 2007: 205-209). Il sigillo in lapislazzuli, dalle dimensioni più ridotte

(1,6 x 1,45 x 0,4 cm), presenta medesima morfologia, con fori per sospensione, e una tipologia decorativa assai prossima al nostro esemplare; il sigillo è stato rinvenuto in associazione archeologica con ceramica policroma del II periodo di Shahr-i Sokhta e con bicchieri conici della Fase 5 del II e un paio di esemplari appartenenti alla Fase 4 del III periodo. Sulla base dei contesti di strato e le associazioni archeologiche del nostro esemplare sembra più probabile che anche il sigillo della Tomba 311 sia da mettere in relazione con le evoluzioni più allungate delle cosiddette “*Pear-shaped Beakers*”, forme conosciute solo a partire dalla Fase 4 del sito, da collocare immediatamente dopo la metà del III millennio a.C. (vedi anche Vidale 1984). Allo stesso modo, il nostro sigillo è stato rinvenuto in associazione archeologica con un bicchiere ad alto collo che per tipologia complessiva va indubbiamente ascritto alla quarta fase dell'insediamento (SiS.17.33.4/4), quando un forte stacco tipologico avviene con la precedente Fase 5 da ascrivere al II periodo del sito.

In sintesi sulla base dei confronti identificati e delle associazioni archeologiche ricostruite il sigillo SiS.17.33.24 deve essere considerato una produzione autoctona, fortemente radicata nel tessuto culturale di Shahr-i Sokhta e di tutto l'orizzonte glittico della valle dell'Hirmand, con buona approssimazione da datare tra il 2500 e il 2400 a.C. (Shahr-i Sokhta III.4) ed utilizzato fino alla fine dell'abitazione del *Building 33* approssimativamente attorno al 2350/2300 a.C.

Se si escludono gli scarti di lavorazione, di cui numerosi frammenti di corniola, i pestelli (SiS.17.33.28, 38, 67, 125, 126, 145, 147-148), pesi da telaio (SiS.17.33.23, 42), frammenti di macinelli (SiS.17.33.76), lisciatoi (SiS.17.33.93, 113, 119, 146) e gettoni contabili (SiS.17.33.25, 60, 65, 69, 74-75, 107, 110-111, 141-143) restituiscono un quadro piuttosto coerente sulle attività svolte all'interno dell'edificio che sembrano piuttosto mirate a coprire ogni singola azione e necessità imposta dalla quotidianità, quasi a confermare una totale indipendenza del *Building 33* rispetto al tessuto urbanistico circostante. L'intero edificio architettonico sembra mostrare, infatti, una forte differenziazione settoriale (si veda il contributo dell'autore sulle analisi architettoniche e funzionali dell'edificio) comportandosi come un complesso articolato e strutturato per raccogliere e organizzare, in piena autonomia, le principali attività tipiche di un complesso residenziale di chiara centralità.

Catalogo Oggetti

| | SiS.17.33.1 (Fig. 1) | SiS.17.33.2 (Fig. 1) | SiS.17.33.3 (Fig. 1) |
|------------------|--|--------------------------|--------------------------|
| Data | 04.11.2017 | 04.11.2017 | 04.11.2017 |
| Oggetto | scarto di lavorazione di una lama di selce | lama | lama |
| Materiale | selce | selce | selce |
| Condizioni | frammentarie | frammentarie | frammentarie |
| Lunghezza | 2,6 cm | 2,5 cm | 2,8 cm |
| Larghezza | 1,7 cm | 1,4 cm | 1,5 cm |
| Spessore | 0,9 cm | 0,4 cm | 0,4 cm |
| Area | 33 | 33 | 33 |
| Quadrato | OOH+OOM | OOH+OOM | OOH+OOM |
| US/Locus | superficie | superficie | superficie |
| Quota | 0,05 m | 0,05 m | 0,05 m |
| Fase | 2 | 2 | 2 |
| Periodo del sito | III (Fase 4-3) | III (Fase 4-3) | III (Fase 4-3) |
| Cronologia | 2450/2400-2350/2300 a.C. | 2450/2400-2350/2300 a.C. | 2450/2400-2350/2300 a.C. |

| | SiS.17.33.4 (Fig. 1) | SiS.17.33.5 (Fig. 2) | SiS.17.33.6 (Fig. 2) |
|------------------|--------------------------|----------------------------|--------------------------|
| Data | 04.11.2017 | 04.11.2017 | 04.11.2017 |
| Oggetto | punta di freccia | oggetto lavorato (scarto?) | oggetto lavorato |
| Materiale | selce | corniola | corniola |
| Condizioni | ottime | frammentarie | frammentarie |
| Lunghezza | 3,7 cm | 1,5 cm | 1,0 cm |
| Larghezza | 1,6 cm | 1,0 cm | 1,0 cm |
| Spessore | 0,4 cm | 1,1 cm | 0,6 cm |
| Area | 33 | 33 | 33 |
| Quadrato | OOH+OOM | OOH+OOM | OOH+OOM |
| US/Locus | superficie | superficie | superficie |
| Quota | 0,05 m | 0,05 m | 0,05 m |
| Fase | 2 | 2 | 2 |
| Periodo del sito | III (Fase 4-3) | III (Fase 4-3) | III (Fase 4-3) |
| Cronologia | 2450/2400-2350/2300 a.C. | 2450/2400-2350/2300a.C. | 2450/2400-2350/2300 a.C. |

| | SiS.17.33.7 (fig. 2) | SiS.17.33.8 (Fig. 2) | SiS.17.33.9 (Fig. 2) |
|------------------|----------------------------|----------------------------|----------------------------|
| Data | 04.11.2017 | 04.11.2017 | 04.11.2017 |
| Oggetto | oggetto lavorato (scarto?) | oggetto lavorato (scarto?) | oggetto lavorato (scarto?) |
| Materiale | corniola | corniola | corniola |
| Condizioni | frammentarie | frammentarie | frammentarie |
| Lunghezza | 1,3 cm | 1,3 cm | 1,4 cm |
| Larghezza | 1,0 cm | 1,1 cm | 1,2 cm |
| Spessore | 1,0 cm | 0,9 cm | 0,4 cm |
| Area | 33 | 33 | 33 |
| Quadrato | OOH+OOM | OOH+OOM | OOH+OOM |
| US/Locus | superficie | superficie | superficie |
| Quota | 0,05 m | 0,05 m | 0,05 m |
| Fase | 2 | 2 | 2 |
| Periodo del sito | III (Fase 4-3) | III (Fase 4-3) | III (Fase 4-3) |
| Cronologia | 2450/2400-2350/2300 a.C. | 2450/2400-2350/2300 a.C. | 2450/2400-2350/2300 a.C. |

| | SiS.17.33.10 (Fig. 2) | SiS.17.33.12 (Fig. 4) | SiS.17.33.12 (Fig. 4) |
|------------------|----------------------------|--------------------------|-------------------------------|
| Data | 04.11.2017 | 04.11.2017 | 04.11.2017 |
| Oggetto | oggetto lavorato (scarto?) | lama | indeterminato oggetto sferico |
| Materiale | corniola | selce | bronzo |
| Condizioni | frammentarie | buone | lievemente eroso |
| Lunghezza | 0,9 cm | 3,3 cm | <i>Diam.:</i> 1,6 cm |
| Larghezza | 0,8 cm | 2,2 cm | - |
| Spessore | 0,3 cm | 0,5 cm | - |
| Area | 33 | 33 | 33 |
| Quadrato | OOH+OOM | OOH+OOM | OOH2+OOG4 |
| US/Locus | superficie | superficie | L.4 |
| Quota | 0,05 m | 0,05 m | 0,10 cm |
| Fase | 2 | 2 | 2 |
| Periodo del sito | III (Fase 4-3) | III (Fase 4-3) | III (Fase 4-3) |
| Cronologia | 2450/2400-2350/2300 a.C. | 2450/2400-2350/2300 a.C. | 2450/2400-2350/2300 a.C. |

| | SiS.17.33.10 (Fig. 2) | SiS.17.33.12 (Fig. 4) | SiS.17.33.12 (Fig. 4) |
|------------------|----------------------------|--------------------------|-------------------------------|
| Data | 04.11.2017 | 04.11.2017 | 04.11.2017 |
| Oggetto | oggetto lavorato (scarto?) | lama | indeterminato oggetto sferico |
| Materiale | corniola | selce | bronzo |
| Condizioni | frammentarie | buone | lievemente eroso |
| Lunghezza | 0,9 cm | 3,3 cm | <i>Diam.:</i> 1,6 cm |
| Larghezza | 0,8 cm | 2,2 cm | - |
| Spessore | 0,3 cm | 0,5 cm | - |
| Area | 33 | 33 | 33 |
| Quadrato | OOH+OOM | OOH+OOM | OOH2+OOG4 |
| US/Locus | superficie | superficie | L.4 |
| Quota | 0,05 m | 0,05 m | 0,10 cm |
| Fase | 2 | 2 | 2 |
| Periodo del sito | III (Fase 4-3) | III (Fase 4-3) | III (Fase 4-3) |
| Cronologia | 2450/2400-2350/2300 a.C. | 2450/2400-2350/2300 a.C. | 2450/2400-2350/2300 a.C. |

| | SiS.17.33.14 (Fig. 5) | SiS.17.33.14 (Fig. 6) | SiS.17.33.15 (Fig. 7) |
|------------------|--------------------------|----------------------------|--------------------------|
| Data | 04.11.2017 | 04.11.2017 | 05.11.2017 |
| Oggetto | nucleo | oggetto lavorato (scarto?) | oggetto lavorato |
| Materiale | selce | corniola | lapislazzuli |
| Condizioni | frammentarie | frammentarie | frammentarie |
| Lunghezza | 2,1 cm | 1,3 cm | 1,0 cm |
| Larghezza | 1,5 cm | 1,4 cm | 0,4 cm |
| Spessore | 0,3 cm | 0,8 cm | 0,2 cm |
| Area | 33 | 33 | 33 |
| Quadrato | OOH2+OOG4 | OOM | OOM |
| US/Locus | L.4 | superficie | superficie |
| Quota | 0,10 m | 0,05 m | 0,05 m |
| Fase | 2 | 2 | 2 |
| Periodo del sito | III (Fase 4-3) | III (Fase 4-3) | III (Fase 4-3) |
| Cronologia | 2450/2400-2350/2300 a.C. | 2450/2400-2350/2300 a.C. | 2450/2400-2350/2300 a.C. |

| | SiS.17.33.16 | SiS.17.33.17 | SiS.17.33.18 (Fig. 8) |
|------------|-------------------|--------------|-----------------------|
| Data | 05.11.2017 | 05.11.2017 | 05.11.2017 |
| Oggetto | frammento di vaso | orlo di vaso | lama |
| Materiale | alabastro | alabastro | selce |
| Condizioni | frammentarie | frammentarie | buone |

| | | | |
|------------------|--------------------------|--------------------------|--------------------------|
| Lunghezza | 2,2 cm | 3,7 cm | 2,9 cm |
| Larghezza | 1,1 cm | 4,2 cm | 1,5 cm |
| Spessore | 0,6 cm | 0,8 cm | 1,0 cm |
| Area | 33 | 33 | 33 |
| Quadrato | OOM | OOM | OOH2+OOG4 |
| US/Locus | superficie | superficie | L.4 |
| Quota | 0,05 m | 0,05 m | 0,05 m |
| Fase | 2 | 2 | 2 |
| Periodo del sito | III (Fase 4-3) | III (Fase 4-3) | III (Fase 4-3) |
| Cronologia | 2450/2400-2350/2300 a.C. | 2450/2400-2350/2300 a.C. | 2450/2400-2350/2300 a.C. |

| | SiS.17.33.19 (Fig. 9) | SiS.17.33.20 (Fig. 10) | SiS.17.33.21 |
|------------------|------------------------------|-------------------------------|-------------------------|
| Data | 05.11.2017 | 05.11.2017 | 05.11.2017 |
| Oggetto | frammento di oggetto | lisciatoio | oggetto indeterminato |
| Materiale | selce | steatite | bronzo |
| Condizioni | frammentarie | ottime | fortemente frammentario |
| Lunghezza | 2,3 cm | 9,9 cm | 3,1 cm |
| Larghezza | 1,5 cm | 1,6 cm | 0,4 cm |
| Spessore | 0,4 cm | 1,0 cm | |
| Area | 33 | 33 | 33 |
| Quadrato | OOH2+OOG4 | OOH2+OOG4 | OOH2+OOG4 |
| US/Locus | L.4 | L.4 | L.4 |
| Quota | 0,10 m | 0,17 m | 0,20 m |
| Fase | 2 | 2 | 2 |
| Periodo del sito | III (Fase 4-3) | III (Fase 4-3) | III (Fase 4-3) |
| Cronologia | 2450/2400-2350/2300 a.C. | 2450/2400-2350/2300 a.C. | 2450/2400-2350/2300 |

| | SiS.17.33.22 | SiS.17.33.23 (Fig. 11) | SiS.17.33.24 (Figg. 12-13) |
|------------|--|-------------------------------|-----------------------------------|
| Data | 05.11.2017 | 05.11.2017 | 06.11.2017 |
| Oggetto | oggetto indeterminato | peso da telaio | sigillo a stampo |
| Materiale | bronzo | ceramica | steatite |
| Condizioni | fortemente frammentario, al limite della polverizzazione | conservato per metà | ottime |
| Lunghezza | | <i>Diam. 1: 3,4 cm</i> | 3,7 cm |
| Larghezza | | <i>Diam. 2: 1,7</i> | 4,0 cm |
| Spessore | | 1,0 cm | 0,6 cm |
| Area | 33 | 33 | 33 |

| | | | |
|------------------|--------------------------|--------------------------|--|
| Quadrato | OOH2+OOG4 | OOH2+OOG4 | OOH4 |
| US/Locus | L.4 | L.4 | L.5 |
| Quota | 0,20 m | 0,20 m | 0,20 m |
| Fase | 2 | 2 | 2 |
| Periodo del sito | III (Fase 4-3) | III (Fase 4-3) | III (Fase 4-3) |
| Cronologia | 2450/2400-2350/2300 a.C. | 2450/2400-2350/2300 a.C. | 2450/2400-2350/2300 a.C. |
| Descrizione | | | sigillo a stampo che utilizza un solo verso, con due fori per possibili applicazioni sul retro. Il sigillo reca decorazioni geometriche che s'impostano su uno schema di tipo incrociato di ampia diffusione nello stesso sito di Shahr-i Sokhta |

| | | | |
|------------------|---|--------------------------|--|
| | SiS.17.33.25 (Fig. 14) | SiS.17.33.26 | SiS.17.33.27 (Fig. 15) |
| Data | 06.11.2017 | 06.11.2017 | 06.11.2017 |
| Oggetto | oggetto ovoidale piatto con tracce di lisciatura sulla propria superficie, forse dovute ad operazioni intenzionali di sfregamento | oggetto indeterminato | oggetto ovoidale piatto con evidenti tracce di lavorazione per sfregamento |
| Materiale | calcare | bronzo | selce |
| Condizioni | lievemente scheggiato | fortemente frammentario | buone |
| Lunghezza | 2,5 cm | 2,5 cm | 4,9 cm |
| Larghezza | 2,2 cm | 2,0 cm | 4,2 cm |
| Spessore | 0,8 cm | 1,0 cm | 0,9 cm |
| Area | 33 | 33 | 33 |
| Quadrato | OOH2+OOG4 | OOH2+OOG4 | OOH2+OOM1 |
| US/Locus | L.4 | L.4 | L.6 |
| Quota | 0,30 m | 0,30 m | 0,30 m |
| Fase | 2 | 2 | 2 |
| Periodo del sito | III (Fase 4-3) | III (Fase 4-3) | III (Fase 4-3) |
| Cronologia | 2450/2400-2350/2300 a.C. | 2450/2400-2350/2300 a.C. | 2450/2400-2350/2300 a.C. |

| | SiS.17.33.28 (Fig. 16) | SiS.17.33.29 | SiS.17.33.30 (Fig. 17) |
|------------------|-------------------------------|--------------------------|---------------------------------|
| Data | 06.11.2017 | 06.11.2017 | 07.11.2017 |
| Oggetto | pestello | oggetto indeterminato | due perle |
| Materiale | calcare | bronzo | turchese |
| Condizioni | lievemente scheggiato | fortemente frammentarie | ottime |
| Lunghezza | 5,8 cm | 3,0 cm | <i>Diam. 1: 0,4 cm x 0,3 cm</i> |
| Larghezza | 5,0 cm | 0,9 cm | <i>Diam. 2: 0,3 cm x 0,2 cm</i> |
| Spessore | 3,7 cm | 0,7 cm | - |
| Area | 33 | 33 | 33 |
| Quadrato | OOH2+OOM1 | OOH2+OOM1 | OOH2+OOM1 |
| US/Locus | L.6 | L.6 | L.6 |
| Quota | 0,30 m | 0,30 m | 0,35 m |
| Fase | 2 | 2 | 2 |
| Periodo del sito | III (Fase 4-3) | III (Fase 4-3) | III (Fase 4-3) |
| Cronologia | 2450/2400-2350/2300 a.C. | 2450/2400-2350/2300 a.C. | 2450/2400-2350/2300 a.C. |

| | SiS.17.33.31 | SiS.17.33.32 (Fig. 18) | SiS.17.33.33 |
|------------------|--------------------------|-------------------------------|--------------------------|
| Data | 07.11.2017 | 07.11.2017 | 07.11.2017 |
| Oggetto | oggetto indeterminato | lama | vaso |
| Materiale | bronzo | selce | alabastro |
| Condizioni | fortemente frammentario | buone | frammentario |
| Lunghezza | 3,0 cm | 2,5 cm | 4,1 cm |
| Larghezza | <i>Altezza: 2,7 cm</i> | 2,0 cm | 3,1 cm |
| Spessore | 1,4 cm | 0,6 cm | 1,2 cm |
| Area | 33 | 33 | 33 |
| Quadrato | OOH2+OOM1 | OOH2+OOM1 | OOM3+OOM1 |
| US/Locus | L.6 | L.6 | L.16 |
| Quota | 0,35 m | 0,35 m | 0,15 m |
| Fase | 2 | 2 | 2 |
| Periodo del sito | III (Fase 4-3) | III (Fase 4-3) | III (Fase 4-3) |
| Cronologia | 2450/2400-2350/2300 a.C. | 2450/2400-2350/2300 a.C. | 2450/2400-2350/2300 a.C. |

| | SiS.17.33.34 (Fig. 19) | SiS.17.33.35 | SiS.17.33.36 (Fig. 20) |
|-----------|-------------------------------|---------------------|--|
| Data | 08.11.2017 | 10.11.2017 | 10.11.2017 |
| Oggetto | liscioio | vaso | oggetto lavorato indeterminato (frammento di vaso?) |
| Materiale | calcare | alabastro | quarzo |

| Condizioni | mostra chiare tracce di abrasione da sfregamento sulla superficie | frammentario | frammentarie |
|------------------|---|---------------------|---------------------|
| Lunghezza | - | 1,9 cm | 2,1 cm |
| Larghezza | - | 1,7 cm | 1,0 cm |
| Spessore | - | 0,5 cm | 0,8 cm |
| Area | 33 | 33 | 33 |
| Quadrato | OOH2+OOM1 | OOM1 | OOM1 |
| US/Locus | L.6 | L.15 | L.15 |
| Quota | 0,40 m | 0,47 m | 0,33 m |
| Fase | 2 | 1 | 1 |
| Periodo del sito | III (Fase 4-3) | III (Fase 5b/4) | III (Fase 5b/4) |
| Cronologia | 2450/2400-2350/2300 a.C. | 2500-2450/2400 a.C. | 2500-2450/2400 a.C. |

| | SiS.17.33.37 (Fig. 21) | SiS.17.33.38 (Fig. 22) | SiS.17.33.39 |
|------------------|------------------------|--|---------------------|
| Data | 10.11.2017 | 10.11.2017 | 10.11.2017 |
| Oggetto | lisciatoio | pestello | scoria |
| Materiale | calcare | breccia | bronzo |
| Condizioni | buone | buone con tracce di percussione sulla base | - |
| Lunghezza | 10,5 cm | 6,3 cm | 2,5 cm |
| Larghezza | 2,7 cm | 4,3 cm | 2,1 cm |
| Spessore | 1,7 cm | 3,4 cm | 1,8 cm |
| Area | 33 | 33 | 33 |
| Quadrato | OOM1 | OOM1 | OOM3+OOM1 |
| US/Locus | L.17 | L.15 | L.16 |
| Quota | 0,48 m | 0,47 m | 0,48 m |
| Fase | 1 | 1 | 1 |
| Periodo del sito | III (Fase 5b/4) | III (Fase 5b/4) | III (Fase 5b/4) |
| Cronologia | 2500-2450/2400 a.C. | 2500-2450/2400 a.C. | 2500-2450/2400 a.C. |

| | SiS.17.33.40 (Fig. 23) | SiS.17.33.41 (Fig. 24) | SiS.17.33.42 (Fig. 25) |
|------------|-------------------------------|------------------------|------------------------|
| Data | 11.11.2017 | 11.11.2017 | 12.11.2017 |
| Oggetto | indeterminato oggetto sferico | perla cilindrica | peso da telaio |
| Materiale | calcare | corniola | argilla |
| Condizioni | mancante di piccole parti | frammentarie | conservato per metà |

| | | | |
|------------------|--------------------------|--------------------------|--------------------------|
| Lunghezza | <i>Diam.</i> : 1,1 cm | <i>Diam.</i> 1: 0,7 cm | <i>Diam.</i> 1: 5,1 cm |
| Larghezza | - | <i>Diam.</i> 2: 0,6 cm | <i>Diam.</i> 2: 2,2 cm |
| Spessore | - | <i>Altezza</i> : 0,7 cm | 0,6 cm |
| Area | 33 | 33 | 33 |
| Quadrato | OOG4+OOL3 | OOH2+OOG4 | OOH2+OOG4 |
| US/Locus | L.19 | L.4 | L.4 |
| Quota | 0,10 m | 0,10 m | 0,15 m |
| Fase | 2 | 2 | 2 |
| Periodo del sito | III (Fase 4-3) | III (Fase 4-3) | III (Fase 4-3) |
| Cronologia | 2450/2400-2350/2300 a.C. | 2450/2400-2350/2300 a.C. | 2450/2400-2350/2300 a.C. |

| | SiS.17.33.43 (Fig. 26) | SiS.17.33.44 | SiS.17.33.45 |
|------------------|-------------------------------|--------------------------|--------------------------|
| Data | 12.11.2017 | 12.11.2017 | 12.11.2017 |
| Oggetto | scarto di lavorazione | indeterminato | indeterminato |
| Materiale | selce | bronzo | calcere |
| Condizioni | frammentarie | fortemente frammentario | buone |
| Lunghezza | 2,5 cm | 2,2 cm. | 4,3 cm |
| Larghezza | 2,5 cm | 1,5 cm | 3,5 cm |
| Spessore | 0,7 cm | 1,7 cm | 1,7 cm |
| Area | 33 | 33 | 33 |
| Quadrato | OOH2+OOG4 | OOH2+OOG4 | OOG4+OOL3 |
| US/Locus | L.4 | L.4 | L.19 |
| Quota | 0,15 m | 0,35 m | 0,15 m |
| Fase | 2 | 2 | 2 |
| Periodo del sito | III (Fase 4-3) | III (Fase 4-3) | III (Fase 4-3) |
| Cronologia | 2450/2400-2350/2300 a.C. | 2450/2400-2350/2300 a.C. | 2450/2400-2350/2300 a.C. |

| | SiS.17.33.46 (Fig. 27) | SiS.17.33.47 | SiS.17.33.48 (Fig. 28) |
|------------|---|---------------------|-------------------------------|
| Data | 13.11.2017 | 13.11.2017 | 13.11.2017 |
| Oggetto | perla cilindrica lievemente rastremata presso le sue due estemità | vaso | lama |
| Materiale | lapislazzuli | alabastro | pietra |
| Condizioni | buone | frammentarie | frammentarie |
| Lunghezza | <i>Altezza</i> : 0,4 cm | 5,8 cm | 5,5 cm |
| Larghezza | <i>Diam.</i> : 0,3 cm | 3,9 cm | 4,0 cm |
| Spessore | - | 1,5 cm | 0,5 cm |

| | | | |
|------------------|--------------------------|--------------------------|--------------------------|
| Area | 33 | 33 | 33 |
| Quadrato | OOF+OOK | OOF+OOK | OOF+OOK |
| US/Locus | - | - | - |
| Quota | 0,10 m | 0,10 m | 0,10 m |
| Fase | 2 | 2 | 2 |
| Periodo del sito | III (Fase 4-3) | III (Fase 4-3) | III (Fase 4-3) |
| Cronologia | 2450/2400-2350/2300 a.C. | 2450/2400-2350/2300 a.C. | 2450/2400-2350/2300 a.C. |

| | SiS.17.33.49 (Fig. 29) | SiS.17.33.50 (Fig. 30) | SiS.17.33.51 |
|------------------|-------------------------------|-------------------------------|--------------------------|
| Data | 13.11.2017 | 13.11.2017 | 14.11.2017 |
| Oggetto | scarto di lavorazione | perla cilindrica | vaso |
| Materiale | selce | steatite | alabastro |
| Condizioni | frammentarie | frammentarie | frammentarie |
| Lunghezza | 2,4 cm | <i>Diam.:</i> 0,6 cm | 2,7 cm |
| Larghezza | 1,3 cm | <i>Altezza:</i> 1,0 cm | 2,4 cm |
| Spessore | 0,5 cm | - | 1,2 cm |
| Area | 33 | 33 | 33 |
| Quadrato | OOF | OOF | OOE+OOG |
| US/Locus | - | - | - |
| Quota | 0,10 m | 0,10 m | 0,10 m |
| Fase | 2 | 2 | 2 |
| Periodo del sito | III (Fase 4-3) | III (Fase 4-3) | III (Fase 4-3) |
| Cronologia | 2450/2400-2350/2300 a.C. | 2450/2400-2350/2300 a.C. | 2450/2400-2350/2300 a.C. |

| | SiS.17.33.52 | SiS.17.33.53 | SiS.17.33.54 |
|------------|---------------------|---------------------|-----------------------|
| Data | 14.11.2017 | 14.11.2017 | 04.11.2017 |
| Oggetto | vaso | lama | nucleo di lavorazione |
| Materiale | alabastro | selce | selce |
| Condizioni | frammentarie | frammentarie | frammentarie |
| Lunghezza | 1,7 cm | 2,6 cm | 3,4 cm |
| Larghezza | 1,7 cm | 1,6 cm | 2,7 cm |
| Spessore | 0,6 cm | 1,6 cm | 2,5 cm |
| Area | 33 | 33 | 33 |
| Quadrato | OOE+OOG | OOE+OOG | OOE+OOG |
| US/Locus | | | |
| Quota | 0,10 m | 0,10 m | 0,10 m |

| | | | |
|------------------|--------------------------|--------------------------|--------------------------|
| Fase | 2 | 2 | 2 |
| Periodo del sito | III (Fase 4-3) | III (Fase 4-3) | III (Fase 4-3) |
| Cronologia | 2450/2400-2350/2300 a.C. | 2450/2400-2350/2300 a.C. | 2450/2400-2350/2300 a.C. |

| | SiS.17.33.55 | SiS.17.33.56 (Fig. 31) | SiS.17.33.57 (Fig. 32) |
|------------------|-------------------------|-------------------------------|-------------------------------|
| Data | 14.11.2017 | 15.11.2017 | 15.11.2017 |
| Oggetto | indeterminato | punta di freccia | indeterminato |
| Materiale | calcare | selce | calcare |
| Condizioni | fortemente frammentarie | ottime | frammentarie |
| Lunghezza | | 3,1 cm | 6,5 cm |
| Larghezza | | 1,4 cm | 3,6 cm |
| Spessore | | 0,5 cm | 1,7 cm |
| Area | 33 | 33 | 33 |
| Quadrato | | OOE+OOG | OOH2+OOG4 |
| US/Locus | superficie | | L.4 |
| Quota | | 0,10 m | 0,10 m |
| Fase | | 2 | 2 |
| Periodo del sito | | III (Fase 4-3) | III (Fase 4-3) |
| Cronologia | | 2450/2400-2350/2300 a.C. | 2450/2400-2350/2300 a.C. |

| | SiS.17.33.58 (Fig. 33) | SiS.17.33.59 | SiS.17.33.60 |
|------------------|-------------------------------|--------------------------|--------------------------|
| Data | 15.11.2017 | 15.11.2017 | 16.11.2017 |
| Oggetto | peso ovoidale | indeterminato | gettone |
| Materiale | pietra | pietra | calcare |
| Condizioni | buone | frammentarie | buone |
| Lunghezza | 4,8 cm | 3,1 cm | 3,0 cm |
| Larghezza | 2,0 cm | 2,9 cm | 3,0 cm |
| Spessore | 1,9 cm | 2,9 cm | 0,5 cm |
| Area | 33 | 33 | 33 |
| Quadrato | OOG2+OOL1 | OOK3 | OOI+OON |
| US/Locus | L.20 | L.26 | L.36+L.43 |
| Quota | 0,10 m | 0,10 m | 0,10 m |
| Fase | 2 | 2 | 2 |
| Periodo del sito | III (Fase 4-3) | III (Fase 4-3) | III (Fase 4-3) |
| Cronologia | 2450/2400-2350/2300 a.C. | 2450/2400-2350/2300 a.C. | 2450/2400-2350/2300 a.C. |

| | SiS.17.33.61 (Fig. 34) | SiS.17.33.62 | SiS.17.33.63 |
|------------------|-------------------------------|--------------------------|--------------------------|
| Data | 16.11.2017 | 16.11.2017 | 16.11.2017 |
| Oggetto | punta di freccia | oggetto indeterminato | nucleo |
| Materiale | selce | bronzo | selce |
| Condizioni | buone | fortemente frammentarie | frammentarie |
| Lunghezza | 2,8 cm | 2,2 cm | 5,0 cm |
| Larghezza | 2,2 cm | 1,5 cm | 2,5 cm |
| Spessore | 0,6 cm | 1,0 cm | 0,8 cm |
| Area | 33 | 33 | 33 |
| Quadrato | OOI+OON | OOI+OON | OOI+OON |
| US/Locus | L.36+L.43 | L.36+L.43 | L.36+L.43 |
| Quota | 0,10 m | 0,10 m | 0,10 m |
| Fase | 2 | 2 | 2 |
| Periodo del sito | III (Fase 4-3) | III (Fase 4-3) | III (Fase 4-3) |
| Cronologia | 2450/2400-2350/2300 a.C. | 2450/2400-2350/2300 a.C. | 2450/2400-2350/2300 a.C. |

| | SiS.17.33.64 (Fig. 35) | SiS.17.33.65 | SiS.17.33.66 (Fig. 36) |
|------------------|-------------------------------|--------------------------|--------------------------------|
| Data | 16.11.2017 | 16.11.2017 | 18.11.2017 |
| Oggetto | peso ovoidale con base | gettone | perla |
| Materiale | calcare | calcare | alabastro |
| Condizioni | Buone | buone | frammentaria, mancante la metà |
| Lunghezza | 4,2 cm | 3,0 cm | 1,5 cm |
| Larghezza | 1,5 cm | 2,2 cm | <i>Diam.: 0,6 cm</i> |
| Spessore | 3,1 cm | 0,4 cm | |
| Area | 33 | 33 | 33 |
| Quadrato | OOI+OON | OOI+OON | OOI+OON |
| US/Locus | L.36+L.43 | L.36+L.43 | L.36+L.43 |
| Quota | 0,10 m | 0,10 m | 0,10 m |
| Fase | 2 | 2 | 2 |
| Periodo del sito | III (Fase 4-3) | III (Fase 4-3) | III (Fase 4-3) |
| Cronologia | 2450/2400-2350/2300 a.C. | 2450/2400-2350/2300 a.C. | 2450/2400-2350/2300 a.C. |

| | SiS.17.33.67 | SiS.17.33.68 | SiS.17.33.69 |
|------------|---------------------|-------------------------|---------------------|
| Data | 18.11.2017 | 18.11.2017 | 04.11.2017 |
| Oggetto | pestello | indeterminato | gettone |
| Materiale | calcare | bronzo | pietra |
| Condizioni | buone | fortemente frammentarie | buone |

| | | | |
|------------------|-------------------------|--------------------------|--------------------------|
| Lunghezza | 4,3 cm | 7,9 cm | 5,1 cm |
| Larghezza | 3,2 cm | 0,7 cm | 4,0 cm |
| Spessore | 3,1 cm | 0,7 cm | 0,5 cm |
| Area | 33 | 33 | 33 |
| Quadrato | OOI+OON | OOI+OON | OOI+OON |
| US/Locus | L.36+L.43 | L.36+L.43 | L.36+L.43 |
| Quota | 0,10 m | 0,10 m | 0,10 m |
| Fase | 2 | 2 | 2 |
| Periodo del sito | III (Fase 4-3) | III (Fase 4-3) | III (Fase 4-3) |
| Cronologia | 2450/2400-2350/2300 a.C | 2450/2400-2350/2300 a.C. | 2450/2400-2350/2300 a.C. |

| | SiS.17.33.70 | SiS.17.33.71 | SiS.17.33.72 (Fig. 37) |
|------------------|-------------------------|--------------------------|-------------------------------|
| Data | 04.11.2017 | 04.11.2017 | 19.11.2017 |
| Oggetto | perla | indeterminato | lama |
| Materiale | quarzo | pietra | selce |
| Condizioni | buone | frammentarie | |
| Lunghezza | <i>Altezza:</i> 2,1 cm | 3,4 cm | 3,9 cm |
| Larghezza | <i>Diam.:</i> 0,6 cm | 3,2 cm | 1,6 cm |
| Spessore | | 1,9 cm | 0,9 cm |
| Area | 33 | 33 | 33 |
| Quadrato | OOI+OON | OOI+OON | OOH4 |
| US/Locus | L.36+L.43 | L.36+L.43 | L.37 |
| Quota | 0,10 m | 0,10 m | 0,20 m |
| Fase | 2 | 2 | 2 |
| Periodo del sito | III (Fase 4-3) | III (Fase 4-3) | III (Fase 4-3) |
| Cronologia | 2450/2400-2350/2300 a.C | 2450/2400-2350/2300 a.C. | 2450/2400-2350/2300 a.C. |

| | SiS.17.33.73 | SiS.17.33.74 (Fig. 38) | SiS.17.33.75 (Fig. 39) |
|------------|-----------------------|-------------------------------|-------------------------------|
| Data | 19.11.2017 | 18.11.2017 | 19.11.2017 |
| Oggetto | scarto di lavorazione | gettone | gettone |
| Materiale | selce | calcare | steatite |
| Condizioni | | buone | buone |
| Lunghezza | 3,4 cm | 1,9 cm | 3,1 cm |
| Larghezza | 1,7 cm | 1,9 cm | 1,7 cm |
| Spessore | 0,8 cm | <i>Altezza:</i> 1,2 cm | 0,7 cm |
| Area | 33 | 33 | 33 |
| Quadrato | OON1+OOM3 | OON1+OOM3 | OON1+OOM3 |

| | | | |
|------------------|-------------------------|--------------------------|--------------------------|
| US/Locus | L.33 | L.33 | L.33 |
| Quota | 0,20 m | 0,20 m | 0,20 m |
| Fase | 2 | 2 | 2 |
| Periodo del sito | III (Fase 4-3) | III (Fase 4-3) | III (Fase 4-3) |
| Cronologia | 2450/2400-2350/2300 a.C | 2450/2400-2350/2300 a.C. | 2450/2400-2350/2300 a.C. |

| | | | |
|------------------|-------------------------|--------------------------|--------------------------|
| | SiS.17.33.76 | SiS.17.33.77 | SiS.17.33.78 |
| Data | 19.11.2017 | 19.11.2017 | 19.11.2017 |
| Oggetto | macinello | indeterminato | indeterminato |
| Materiale | basalto | pietra | bronzo |
| Condizioni | frammentarie | fortemente frammentarie | frammentario |
| Lunghezza | 6,9 cm | 6,9 cm | 1,8 cm |
| Larghezza | 5,1 cm | 4,9 cm | 1,5 cm |
| Spessore | 1,7 cm | 2,5 cm | 1,1 cm |
| Area | 33 | 33 | 33 |
| Quadrato | OOH4 | OOH4 | OOH4 |
| US/Locus | L.37 | L.7 | L.5 |
| Quota | 0,20 m | 0,30 m | 0,30 m |
| Fase | 2 | 2 | 2 |
| Periodo del sito | III (Fase 4-3) | III (Fase 4-3) | III (Fase 4-3) |
| Cronologia | 2450/2400-2350/2300 a.C | 2450/2400-2350/2300 a.C. | 2450/2400-2350/2300 a.C. |

| | | | |
|------------------|-------------------------|----------------------------|--------------------------|
| | SiS.17.33.79 | SiS.17.33.80 | SiS.17.33.81 |
| Data | 19.11.2017 | 19.11.2017 | 20.11.2017 |
| Oggetto | scoria | perla | indeterminato |
| Materiale | | turchese | quarzo |
| Condizioni | | buone | frammentario |
| Lunghezza | 6,5 cm | <i>Diam.: 0,25/0,22 cm</i> | 2.2 cm |
| Larghezza | 5,8 cm | | 1,8 cm |
| Spessore | 2,5 cm | | 0,6 cm |
| Area | 33 | 33 | 33 |
| Quadrato | OOI+OON | OOI2+OOH4 | OOI2+OOH4 |
| US/Locus | L.36+L.43 | L.36+L.37 | L.36+L.37 |
| Quota | 0,20 m | 0,10 m | 0,10 m |
| Fase | 2 | 2 | 2 |
| Periodo del sito | III (Fase 4-3) | III (Fase 4-3) | III (Fase 4-3) |
| Cronologia | 2450/2400-2350/2300 a.C | 2450/2400-2350/2300 a.C. | 2450/2400-2350/2300 a.C. |

| | SiS.17.33.82 | SiS.17.33.83 (Fig. 41) | SiS.17.33.84 (Fig. 42) |
|------------------|-------------------------|-------------------------------|-------------------------------|
| Data | 20.11.2017 | 20.11.2017 | 20.11.2017 |
| Oggetto | intarsio | lama | lama |
| Materiale | pietra | selce | selce |
| Condizioni | buone | frammentarie | frammentarie |
| Lunghezza | 2,3 cm | 3,9 cm | 1,7 cm |
| Larghezza | 2,1 cm | 1,6 cm | 1,8 cm |
| Spessore | 0,3 cm | 0,8 cm | 0,8 cm |
| Area | 33 | 33 | 33 |
| Quadrato | OOI2+OOH4 | OOI2+OOH4 | OOI2+OOH4 |
| US/Locus | L.36+L.37 | L.36+L.37 | L.36+L.37 |
| Quota | 0,10 m | 0,10 m | 0,10 m |
| Fase | 2 | 2 | 2 |
| Periodo del sito | III (Fase 4-3) | III (Fase 4-3) | III (Fase 4-3) |
| Cronologia | 2450/2400-2350/2300 a.C | 2450/2400-2350/2300 a.C. | 2450/2400-2350/2300 a.C. |

| | SiS.17.33.85 (Fig. 43) | SiS.17.33.86 | SiS.17.33.87 (Fig. 44) |
|------------------|-------------------------------|--------------------------|-------------------------------|
| Data | 20.11.2017 | 20.11.2017 | 20.11.2017 |
| Oggetto | nucleo o lama non finita | ansa | indeterminato |
| Materiale | selce | pietra | quarzo |
| Condizioni | frammentarie | frammentarie | frammentarie |
| Lunghezza | 5,8 cm | 3,9 cm | 2,5 cm |
| Larghezza | 4,2 cm | 1,5 cm | 2,1 cm |
| Spessore | 1,8 cm | 0,9 cm | 0,7 cm |
| Area | 33 | 33 | 33 |
| Quadrato | OOI2+OOH4 | OOI2+OOH4 | OOI2+OOH4 |
| US/Locus | L.36+L.37 | L.36+L.37 | L.36+L.37 |
| Quota | 0,10 m | 0,10 m | 0,10 m |
| Fase | 2 | 2 | 2 |
| Periodo del sito | III (Fase 4-3) | III (Fase 4-3) | III (Fase 4-3) |
| Cronologia | 2450/2400-2350/2300 a.C | 2450/2400-2350/2300 a.C. | 2450/2400-2350/2300 a.C. |

| | SiS.17.33.88 | SiS.17.33.89 | SiS.17.33.90 (Fig. 45) |
|------------|---------------------|---------------------|-------------------------------|
| Data | 20.11.2017 | 20.11.2017 | 20.11.2017 |
| Oggetto | vaso | orlo di vaso | lama |
| Materiale | alabastro | alabastro | selce |
| Condizioni | frammentarie | frammentarie | frammentarie |

| | | | |
|------------------|-------------------------|--------------------------|--------------------------|
| Lunghezza | 1,6 cm | 3,7 cm | 2,7 cm |
| Larghezza | 1,2 cm | 2,9 cm | 2,3 cm |
| Spessore | 0,5 cm | 0,6 cm | 0,4 cm |
| Area | 33 | 33 | 33 |
| Quadrato | OOI2+OOH4 | OOI2+OOH4 | OOI2+OOH4 |
| US/Locus | L.36+L.37 | L.36+L.37 | L.36+L.37 |
| Quota | 0,20 m | 0,10 m | 0,10 m |
| Fase | 2 | 2 | 2 |
| Periodo del sito | III (Fase 4-3) | III (Fase 4-3) | III (Fase 4-3) |
| Cronologia | 2450/2400-2350/2300 a.C | 2450/2400-2350/2300 a.C. | 2450/2400-2350/2300 a.C. |

| | SiS.17.33.91 | SiS.17.33.92 (Fig. 46) | SiS.17.33.93 (Fig. 47) |
|------------------|-------------------------|-------------------------------|-------------------------------|
| Data | 20.11.2017 | 20.11.2017 | 20.11.2017 |
| Oggetto | orlo di vaso | punteruolo | lisciatioio |
| Materiale | alabastro | bronzo | pietra |
| Condizioni | frammentarie | buone | buone |
| Lunghezza | 2,7 cm | 7,2 cm | 6,4 cm |
| Larghezza | 2,3 cm | 4,8 cm | 3,1 cm |
| Spessore | 0,4 cm | 0,7 cm | 2,8 cm |
| Area | 33 | 33 | 33 |
| Quadrato | OOI2+OOH4 | OOI2+OOH4 | OOI2+OOH4 |
| US/Locus | L.36+L.37 | L.36+L.37 | L.36+L.37 |
| Quota | 0,10 m | 0,10 m | 0,10 m |
| Fase | 2 | 2 | 2 |
| Periodo del sito | III (Fase 4-3) | III (Fase 4-3) | III (Fase 4-3) |
| Cronologia | 2450/2400-2350/2300 a.C | 2450/2400-2350/2300 a.C. | 2450/2400-2350/2300 a.C. |

| | SiS.17.33.94 (Fig. 48) | SiS.17.33.95 | SiS.17.33.96 |
|------------|-------------------------------|---------------------|---------------------|
| Data | 20.11.2017 | 20.11.2017 | 20.11.2017 |
| Oggetto | gettone sferico | orlo di vaso | vaso |
| Materiale | calcare | alabastro | alabastro |
| Condizioni | buone | frammentarie | frammentarie |
| Lunghezza | 3,0 cm | 7,2 cm | 4,2 cm |
| Larghezza | 2,3 cm | 4,8 cm | 3,4 cm |
| Spessore | 2,2 cm | 0,7 cm | 0,7 cm |
| Area | 33 | 33 | 33 |
| Quadrato | OOI2+OOH4 | OOI2+OOH4 | OOI2+OOH4 |

| | | | |
|------------------|-------------------------|--------------------------|--------------------------|
| US/Locus | L.36+L.37 | | |
| Quota | 0,10 m | superficie | superficie |
| Fase | 2 | 2 | 2 |
| Periodo del sito | III (Fase 4-3) | III (Fase 4-3) | III (Fase 4-3) |
| Cronologia | 2450/2400-2350/2300 a.C | 2450/2400-2350/2300 a.C. | 2450/2400-2350/2300 a.C. |

| | SiS.17.33.97 | SiS.17.33.98 | SiS.17.33.99 |
|------------------|-------------------------|--------------------------|--------------------------|
| Data | 20.11.2017 | 20.11.2017 | 20.11.2017 |
| Oggetto | base di vaso | orlo di vaso | vaso |
| Materiale | alabastro | alabastro | alabastro |
| Condizioni | frammentarie | frammentarie | frammentarie |
| Lunghezza | 2,6 cm | 3,2 cm | 3,3 cm |
| Larghezza | 2,2 cm | 1,9 cm | 2,3 cm |
| Spessore | 0,8 cm | 0,8 cm | 1,2 cm |
| Area | 33 | 33 | 33 |
| Quadrato | OOI2+OOH4 | OOI2+OOH4 | OOI2+OOH4 |
| US/Locus | | | |
| Quota | superficie | superficie | superficie |
| Fase | 2 | 2 | 2 |
| Periodo del sito | III (Fase 4-3) | III (Fase 4-3) | III (Fase 4-3) |
| Cronologia | 2450/2400-2350/2300 a.C | 2450/2400-2350/2300 a.C. | 2450/2400-2350/2300 a.C. |

| | SiS.17.33.100 | SiS.17.33.101 | SiS.17.33.102 |
|------------------|-------------------------|--------------------------|--------------------------|
| Data | 20.11.2017 | 20.11.2017 | 20.11.2017 |
| Oggetto | vaso | vaso | vaso |
| Materiale | alabastro | alabastro | alabastro |
| Condizioni | frammentarie | frammentarie | frammentarie |
| Lunghezza | 3,5 cm | | 2,7 cm |
| Larghezza | 1,4 cm | | 1,4 cm |
| Spessore | 1,3 cm | | 1,2 cm |
| Area | 33 | 33 | 33 |
| Quadrato | OOI2+OOH4 | OOI2+OOH4 | OOI2+OOH4 |
| US/Locus | | | |
| Quota | superficie | superficie | superficie |
| Fase | 2 | 2 | 2 |
| Periodo del sito | III (Fase 4-3) | III (Fase 4-3) | III (Fase 4-3) |
| Cronologia | 2450/2400-2350/2300 a.C | 2450/2400-2350/2300 a.C. | 2450/2400-2350/2300 a.C. |
| Descrizione | | attaccato a SiS.17.33.95 | |

| | SiS.17.33.103 | SiS.17.33.104 | SiS.17.33.105 |
|------------------|-------------------------|--------------------------|--------------------------|
| Data | 21.11.2017 | 21.11.2017 | 21.11.2017 |
| Oggetto | base di vaso | orlo di vaso | vaso |
| Materiale | alabastro | alabastro | alabastro |
| Condizioni | frammentarie | frammentarie | frammentarie |
| Lunghezza | <i>Altezza:</i> 1,9 cm | | 2,8 cm |
| Larghezza | | | 2,5 cm |
| Spessore | 0,3/0,4 cm | | 1,7 cm |
| Area | 33 | 33 | 33 |
| Quadrato | OOI2 | OOI2 | |
| US/Locus | L.36 | L.36 | |
| Quota | 0,20 m | 0,20 m | 0,10 m |
| Fase | 2 | 2 | 2 |
| Periodo del sito | III (Fase 4-3) | III (Fase 4-3) | III (Fase 4-3) |
| Cronologia | 2450/2400-2350/2300 a.C | 2450/2400-2350/2300 a.C. | 2450/2400-2350/2300 a.C. |

| | SiS.17.33.106 | SiS.17.33.107 (Fig. 49) | SiS.17.33.108 |
|------------------|---|--------------------------------|--------------------------|
| Data | 21.11.2017 | 21.11.2017 | 04.11.2017 |
| Oggetto | due oggetti indeterminati verosimilmente facenti parte dello stesso oggetto | gettone | indeterminato |
| Materiale | bronzo | pietra | bronzo |
| Condizioni | fortemente frammentarie | buone | frammentarie |
| Lunghezza | 1) 1,1 cm; 2) 1,2 cm | 3,0 cm | 1,1 cm |
| Larghezza | 1) 0,9 cm; 2) 0,8 cm | 2,9 cm | 0,8 cm |
| Spessore | 1) 0,8 cm; 2) 0,6 cm | 0,6 cm | 0,6 cm |
| Area | 33 | 33 | 33 |
| Quadrato | OOI2 | OOI2 | OOI2 |
| US/Locus | L.36 | | |
| Quota | 0,20 m | 0,10 m | 0,15 cm |
| Fase | 2 | 2 | 2 |
| Periodo del sito | III (Fase 4-3) | III (Fase 4-3) | III (Fase 4-3) |
| Cronologia | 2450/2400-2350/2300 a.C | 2450/2400-2350/2300 a.C. | 2450/2400-2350/2300 a.C. |

| | SiS.17.33.109 | SiS.17.33.110 | SiS.17.33.111 (Fig. 50) |
|---------|----------------------|----------------------|--------------------------------|
| Data | 21.11.2017 | 22.11.2017 | 22.11.2017 |
| Oggetto | indeterminato | gettone | gettone |

| | | | |
|------------------|-------------------------|--------------------------|--------------------------|
| Materiale | bronzo | breccia | calcare |
| Condizioni | fortemente frammentarie | buone | buone |
| Lunghezza | 1,0 cm | 1,3 cm | 2,9 cm |
| Larghezza | | 1,1 cm | 2,1 cm |
| Spessore | 0,6 cm | 1,0 cm | 0,9 cm |
| Area | 33 | 33 | 33 |
| Quadrato | OOI2 | OON1 | OOH4 |
| US/Locus | L.36 | L.43 | L.5 |
| Quota | 0,20 m | 0,25 m | 0,25 m |
| Fase | 2 | 2 | 2 |
| Periodo del sito | III (Fase 4-3) | III (Fase 4-3) | III (Fase 4-3) |
| Cronologia | 2450/2400-2350/2300 a.C | 2450/2400-2350/2300 a.C. | 2450/2400-2350/2300 a.C. |

| | | | |
|------------------|-------------------------|--------------------------|--------------------------------|
| | SiS.17.33.112 | SiS.17.33.113 | SiS.17.33.114 (Fig. 51) |
| Data | 22.11.2017 | 22.11.2017 | 22.11.2017 |
| Oggetto | indeterminato | lisciatoio | lama |
| Materiale | pietra | pietra | selce |
| Condizioni | | frammentarie | buone |
| Lunghezza | 3,6 cm | 2,5 cm | 3,6 cm |
| Larghezza | 3,3 cm | 1,8 cm | 2,0 cm |
| Spessore | 2,0 cm | 1,6 cm | 2,6 cm |
| Area | 33 | 33 | 33 |
| Quadrato | OON1 | OON1 | OON1 |
| US/Locus | L.43 | L.43 | L.43 |
| Quota | 0,25 m | 0,25 m | 0,25 m |
| Fase | 2 | 2 | 2 |
| Periodo del sito | III (Fase 4-3) | III (Fase 4-3) | III (Fase 4-3) |
| Cronologia | 2450/2400-2350/2300 a.C | 2450/2400-2350/2300 a.C. | 2450/2400-2350/2300 a.C. |

| | | | |
|------------|---|---|--|
| | SiS.17.33.115 | SiS.17.33.116 | SiS.17.33.117 (Fig. 52) |
| Data | 22.11.2017 | 22.11.2017 | 22.11.2017 |
| Oggetto | due frammenti indeterminato facente verosimilmente parte di un unico utensile | due frammenti indeterminato facente verosimilmente parte di un unico utensile | panetto triangolare utilizzato come poggia pentole sul fuoco (cfr. Indo) |
| Materiale | bronzo | bronzo | calcare |
| Condizioni | fortemente frammentarie | fortemente frammentarie | frammentarie |
| Lunghezza | 1) 0,7 cm; 2) 1,5 cm | 1) 2,5 cm; 2) 1,1 cm | 5,2 cm |

| | | | |
|------------------|-------------------------|--------------------------|--------------------------|
| Larghezza | 2) 1,3 cm | 1) 1,1 cm; 2) 0,6 cm | 4,9 cm |
| Spessore | 1) 0,7 cm; 2) 1,0 cm | 1) 1,0 cm; 2) 0,4 cm | 3,5 cm |
| Area | 33 | 33 | 33 |
| Quadrato | OOH4 | OOI2 | OON1 |
| US/Locus | L.5 | L.36 | L.43 |
| Quota | 0,25 m | 0,25 m | 0,25 m |
| Fase | 2 | 2 | 2 |
| Periodo del sito | III (Fase 4-3) | III (Fase 4-3) | III (Fase 4-3) |
| Cronologia | 2450/2400-2350/2300 a.C | 2450/2400-2350/2300 a.C. | 2450/2400-2350/2300 a.C. |

| | SiS.17.33.118 | SiS.17.33.119 | SiS.17.33.120 (Fig. 53) |
|------------------|-------------------------|--------------------------|--------------------------------|
| Data | 22.11.2017 | 22.11.2017 | 22.11.2017 |
| Oggetto | indeterminato | lisciatoio | figurina fittile zoomorfa |
| Materiale | pietra | pietra | argilla |
| Condizioni | frammentarie | frammentarie | frammentarie |
| Lunghezza | 4,7 cm | 3,7 cm | 4,7 cm |
| Larghezza | 2,6 cm | 3,2 cm | 2,6 cm |
| Spessore | 2,1 cm | 2,1 cm | 2,1 cm |
| Area | 33 | 33 | 33 |
| Quadrato | OON1 | OON1 | OOI2 |
| US/Locus | L.43 | L.43 | L.36 |
| Quota | 0,25 m | 0,25 m | 0,25 m |
| Fase | 2 | 2 | 2 |
| Periodo del sito | III (Fase 4-3) | III (Fase 4-3) | III (Fase 4-3) |
| Cronologia | 2450/2400-2350/2300 a.C | 2450/2400-2350/2300 a.C. | 2450/2400-2350/2300 a.C. |

| | SiS.17.33.121 | SiS.17.33.122 | SiS.17.33.123 (Fig. 54) |
|------------|-------------------------|----------------------|--------------------------------|
| Data | 22.11.2017 | 22.11.2017 | 23.11.2017 |
| Oggetto | indeterminato | indeterminato | perla ovoidale |
| Materiale | bronzo | bronzo | turchese |
| Condizioni | fortemente frammentarie | polverizzato | ottime |
| Lunghezza | 1,5 cm | | 3,5 cm |
| Larghezza | 0,9 cm | | 0,9 cm |
| Spessore | 0,5 cm | | 0,5 cm |
| Area | 33 | 33 | 33 |
| Quadrato | OOI2 | OOH4 | OOM3+OOM1 |
| US/Locus | L.36 | L.5 | L.16 |

| | | | |
|------------------|-------------------------|--------------------------|--------------------------|
| Quota | 0,20 m | 0,20 m | 0,20 m |
| Fase | 2 | 2 | 2 |
| Periodo del sito | III (Fase 4-3) | III (Fase 4-3) | III (Fase 4-3) |
| Cronologia | 2450/2400-2350/2300 a.C | 2450/2400-2350/2300 a.C. | 2450/2400-2350/2300 a.C. |

| | SiS.17.33.124 (Fig. 55) | SiS.17.33.125 (Fig. 56) | SiS.17.33.126 (Fig. 57) |
|------------------|--------------------------------|--|--|
| Data | 23.11.2017 | 23.11.2017 | 23.11.2017 |
| Oggetto | perla cilindrica | pestello | pestello |
| Materiale | alabastro | calcare | calcare |
| Condizioni | ottime | ottime con chiare tracce di percussione sulla base | ottime con chiare tracce di percussione sulla base |
| Lunghezza | 5,5 cm | 5,4 cm | 7,0 cm |
| Larghezza | 1,0 cm | 4,4 cm | 4,3 cm |
| Spessore | 0,5 cm | 3,2 cm | 2,3 cm |
| Area | 33 | 33 | 33 |
| Quadrato | OOM3+OOM1 | OOH4 | OOH4 |
| US/Locus | L.16 | L.7 | L.7 |
| Quota | 0,10 m | 0,20 m | 0,20 m |
| Fase | 2 | 2 | 2 |
| Periodo del sito | III (Fase 4-3) | III (Fase 4-3) | III (Fase 4-3) |
| Cronologia | 2450/2400-2350/2300 a.C | 2450/2400-2350/2300 a.C. | 2450/2400-2350/2300 a.C. |

| | SiS.17.33.127 (Fig. 58) | SiS.17.33.128 | SiS.17.33.129 |
|------------------|--------------------------------|--------------------------|--------------------------|
| Data | 23.11.2017 | 30.11.2017 | 30.11.2017 |
| Oggetto | peso sfendonioide | orlo di vaso | orlo di vaso |
| Materiale | calcare | alabastro | alabastro |
| Condizioni | fortemente rasato e spezzato | frammentarie | frammentarie |
| Lunghezza | 6,0 cm | 9,4 cm | 3,6 cm |
| Larghezza | 4,4 cm | 8,0 cm | 3,7 cm |
| Spessore | 2,0 cm | 1,2 cm | 0,8 cm |
| Area | 33 | 33 | 33 |
| Quadrato | OOM3+OOM1 | OOI2+OON1 | OOI2+OON1 |
| US/Locus | L.16 | L.36+L.43 | L.36+L.43 |
| Quota | 0,20 m | superficie | superficie |
| Fase | 2 | 2 | 2 |
| Periodo del sito | III (Fase 4-3) | III (Fase 4-3) | III (Fase 4-3) |
| Cronologia | 2450/2400-2350/2300 a.C | 2450/2400-2350/2300 a.C. | 2450/2400-2350/2300 a.C. |

| | SiS.17.33.130 | SiS.17.33.131 | SiS.17.33.132 |
|------------------|-------------------------|--------------------------|--------------------------|
| Data | 30.11.2017 | 30.11.2017 | 30.11.2017 |
| Oggetto | orlo di vaso | orlo di vaso | vaso |
| Materiale | alabastro | alabastro | alabastro |
| Condizioni | frammentarie | frammentarie | frammentarie |
| Lunghezza | 3,5 cm | 3,2 cm | 6,3 cm |
| Larghezza | 3,7 cm | 1,6 cm | 4,1 cm |
| Spessore | 0,9 cm | 0,7 cm | 1,2 cm |
| Area | 33 | 33 | 33 |
| Quadrato | OOI2+OON1 | OOI2+OON1 | OOI2+OON1 |
| US/Locus | L.36+L.43 | L.36+L.43 | L.36+L.43 |
| Quota | superficie | superficie | superficie |
| Fase | 2 | 2 | 2 |
| Periodo del sito | III (Fase 4-3) | III (Fase 4-3) | III (Fase 4-3) |
| Cronologia | 2450/2400-2350/2300 a.C | 2450/2400-2350/2300 a.C. | 2450/2400-2350/2300 a.C. |

| | SiS.17.33.133 | SiS.17.33.134 | SiS.17.33.135 |
|------------------|-------------------------|--------------------------|--------------------------|
| Data | 30.11.2017 | 30.11.2017 | 30.11.2017 |
| Oggetto | vaso | base di vaso | vaso |
| Materiale | alabastro | alabastro | alabastro |
| Condizioni | frammentarie | frammentarie | frammentarie |
| Lunghezza | 4,9 cm | 6,2 cm | 6,3 cm |
| Larghezza | 2,9 cm | 1,9 cm | 4,9 cm |
| Spessore | 1,0 cm | 1,0 cm | 1,2 cm |
| Area | 33 | 33 | 33 |
| Quadrato | OOI2+OON1 | OOI2+OON1 | OOI2+OON1 |
| US/Locus | L.36+L.43 | L.36+L.43 | L.36+L.43 |
| Quota | superficie | superficie | superficie |
| Fase | 2 | 2 | 2 |
| Periodo del sito | III (Fase 4-3) | III (Fase 4-3) | III (Fase 4-3) |
| Cronologia | 2450/2400-2350/2300 a.C | 2450/2400-2350/2300 a.C. | 2450/2400-2350/2300 a.C. |

| | SiS.17.33.136 | SiS.17.33.137 | SiS.17.33.138 |
|-----------|----------------------|----------------------|----------------------|
| Data | 30.11.2017 | 30.11.2017 | 30.11.2017 |
| Oggetto | orlo di vaso | vaso | orlo di vaso |
| Materiale | alabastro | alabastro | alabastro |

| | | | |
|------------------|-------------------------|--------------------------|--------------------------|
| Condizioni | frammentarie | frammentarie | frammentarie |
| Lunghezza | 2,5 cm | 4,2 cm | 5,5 cm |
| Larghezza | 1,8 cm | 3,7 cm | 4,5 cm |
| Spessore | 0,4 cm | 1,5 cm | 1,5 cm |
| Area | 33 | 33 | 33 |
| Quadrato | OOI2+OON1 | OOI2+OON1 | OOI2+OON1 |
| US/Locus | L.36+L.43 | L.36+L.43 | L.36+L.43 |
| Quota | superficie | superficie | superficie |
| Fase | 2 | 2 | 2 |
| Periodo del sito | III (Fase 4-3) | III (Fase 4-3) | III (Fase 4-3) |
| Cronologia | 2450/2400-2350/2300 a.C | 2450/2400-2350/2300 a.C. | 2450/2400-2350/2300 a.C. |

| | | | |
|------------------|-------------------------|--------------------------|--------------------------------|
| | SiS.17.33.139 | SiS.17.33.140 | SiS.17.33.141 (Fig. 59) |
| Data | 30.11.2017 | | 16.11.2017 |
| Oggetto | orlo di vaso | vaso | gettone |
| Materiale | alabastro | alabastro | calcare |
| Condizioni | frammentarie | frammentarie | buone |
| Lunghezza | 2,7 cm | 2,7 cm | 3,1 cm |
| Larghezza | 2,0 cm | 1,4 cm | 2,2 cm |
| Spessore | 0,4 cm | 1,2 cm | 0,4 cm |
| Area | 33 | 33 | 33 |
| Quadrato | OOI2+OON1 | OON1 | |
| US/Locus | L.36+L.43 | L.43 | |
| Quota | superficie | 0,25 m | |
| Fase | 2 | 2 | 2 |
| Periodo del sito | III (Fase 4-3) | III (Fase 4-3) | III (Fase 4-3) |
| Cronologia | 2450/2400-2350/2300 a.C | 2450/2400-2350/2300 a.C. | 2450/2400-2350/2300 a.C. |

| | | | |
|------------|--------------------------------|--------------------------------|----------------------|
| | SiS.17.33.142 (Fig. 60) | SiS.17.33.143 (Fig. 61) | SiS.17.33.144 |
| Data | 16.11.2017 | 18.11.2017 | 18.11.2017 |
| Oggetto | gettone | gettone | perla |
| Materiale | calcare | breccia | quarzo |
| Condizioni | buone | buone | buone |
| Lunghezza | <i>Diam.</i> : 1,1 cm | 5,1 cm | 2,1 cm |
| Larghezza | | 4,0 cm | 1,8 cm |
| Spessore | | 0,5 cm | 0,8 cm |
| Area | 33 | 33 | 33 |

| | | | |
|------------------|-------------------------|--------------------------|--------------------------|
| Quadrato | OOG4+OOL3 | OON1 | OON1 |
| US/Locus | L.19 | 0,20 m | |
| Quota | | | |
| Fase | 2 | 2 | 2 |
| Periodo del sito | III (Fase 4-3) | III (Fase 4-3) | III (Fase 4-3) |
| Cronologia | 2450/2400-2350/2300 a.C | 2450/2400-2350/2300 a.C. | 2450/2400-2350/2300 a.C. |

| | SiS.17.33.145 (Fig. 62) | SiS.17.33.146 | SiS.17.33.147 (Fig. 63) |
|------------------|---|--------------------------|--------------------------------|
| Data | 23.11.2017 | 23.11.2017 | 23.11.2017 |
| Oggetto | pestello | lisciatolo | pestello |
| Materiale | calcare | breccia | breccia |
| Condizioni | ottime, tracce evidenti di percussione sulla base | buone | buone |
| Lunghezza | 4,3 cm | 3,7 cm | 8,1 cm |
| Larghezza | 3,3 cm | 3,2 cm | 6,9 cm |
| Spessore | 3,1 cm | 2,1 cm | 1,5 cm |
| Area | 33 | 33 | 33 |
| Quadrato | OON1 | OON1 | OOL2+OON1 |
| US/Locus | | L.43 | L.36+L.43 |
| Quota | | | superficie |
| Fase | 2 | 2 | 2 |
| Periodo del sito | III (Fase 4-3) | III (Fase 4-3) | III (Fase 4-3) |
| Cronologia | 2450/2400-2350/2300 a.C | 2450/2400-2350/2300 a.C. | 2450/2400-2350/2300 a.C. |

| | SiS.17.33.148 (Fig. 64) | SiS.17.33.149 (Fig. 65) |
|------------|--------------------------------|--------------------------------|
| Data | 23.11.2017 | 23.11.2017 |
| Oggetto | pestello | indeterminato |
| Materiale | breccia | pietra vulcanica |
| Condizioni | buone | frammentarie |
| Lunghezza | 7,2 cm | 3,4 cm |
| Larghezza | 6,0 cm | 3,2 cm |
| Spessore | 4,6 cm | <i>Altezza:2,5 cm</i> |
| Area | 33 | 33 |
| Quadrato | OOL2+OON1 | OOL2+OON1 |
| US/Locus | L.36+L.43 | L.36+L.43 |
| Quota | superficie | superficie |
| Fase | 2 | 2 |

| Periodo del sito | III (Fase 4-3) | III (Fase 4-3) |
|------------------|-------------------------|--------------------------|
| Cronologia | 2450/2400-2350/2300 a.C | 2450/2400-2350/2300 a.C. |



Fig. 1: SiS.17.33.1, scarto di lavorazione di una lama di selce. SiS.17.33.2, lama in selce. SiS.17.33.3, lama in selce. SiS.17.33.4, punta di freccia (foto di M. Rahmani).



Fig. 2: SiS.17.33.5, oggetto lavorato o scarto in corniola. SiS.17.33.6, oggetto lavorato o scarto in corniola. SiS.17.33.7, oggetto lavorato o scarto in corniola. SiS.17.33.8, oggetto lavorato o scarto in corniola. SiS.17.33.9, oggetto lavorato o scarto in corniola. SiS.17.33.10, oggetto lavorato o scarto in corniola (foto di M. Rahmani).



Fig. 3: SiS.17.33.11, lama in selce (foto di M. Rahmani).

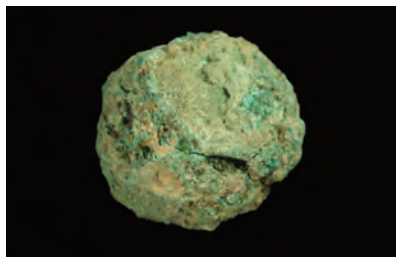


Fig. 4: SiS.17.33.12, indeterminato oggetto sferico (foto di M. Rahmani).



Fig. 5: SiS.17.33.12, nucleo in selce (foto di M. Rahmani).



Fig. 6: SiS.17.33.14, oggetto lavorato o scarto in corniola (foto di M. Rahmani).

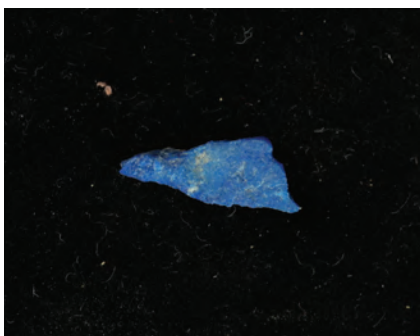


Fig. 7: SiS.17.33.15, oggetto lavorato in lapislazzuli (foto di M. Rahmani).



Fig. 8: SiS.17.33.18, lama in selce (foto di M. Rahmani).



Fig. 9: SiS.17.33.19, scarto di selce (foto di M. Rahmani).



Fig. 10: SiS.17.33.20, lisciatoio in steatite (foto di M. Rahmani).



Fig. 11: SiS.17.33.23, peso da telaio in ceramica (foto di M. Rahmani).

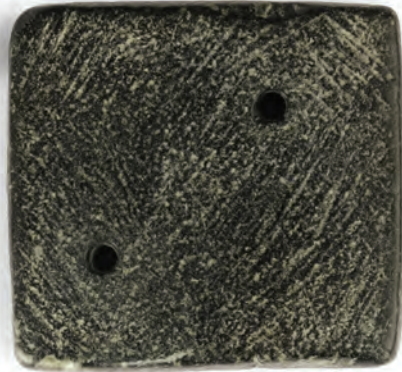


Fig. 12: SiS.17.33.24, sigillo a stampo in steatite (foto di M. Rahmani).



Fig. 13: SiS.17.33.24, sigillo a stampo in steatite (Drawing by Aida Torseh).

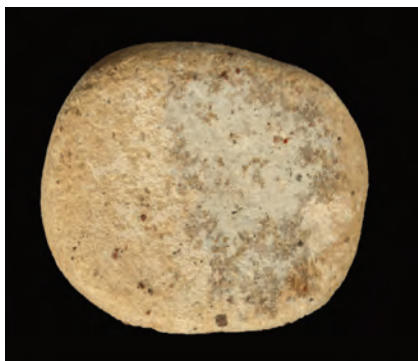


Fig. 14: SiS.17.33.25, oggetto in calcare ovoidale piatto con tracce di lisciatura (foto di M. Rahmani).



Fig. 15: SiS.17.33.27, oggetto in selce ovoidale piatto con tracce di lavorazione (foto di M. Rahmani).



Fig. 16: SiS.17.33.28, pestello in calcare (foto di M. Rahmani).

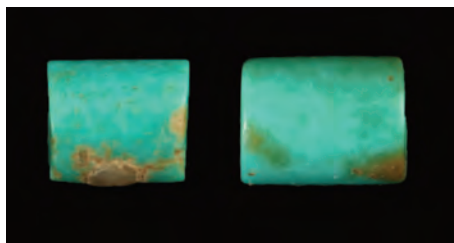


Fig. 17: SiS.17.33.30, due perle in turchese (foto di M. Rahmani).



Fig. 18: SiS.17.33.32, lama in selce (foto di M. Rahmani).



Fig. 19: SiS.17.33.34, liscioio in calcare (foto di M. Rahmani).



Fig. 20: SiS.17.33.36, oggetto lavorato indeterminato in quarzo (foto di M. Rahmani).



Fig. 23: SiS.17.33.40, oggetto sferico in calcare (foto di M. Rahmani).



Fig. 21: SiS.17.33.37, lisciatoio in calcare (foto di M. Rahmani).

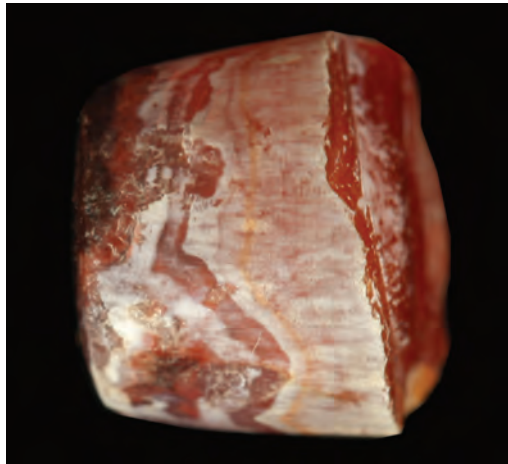


Fig. 24: SiS.17.33.41, perla cilindrica in corniola (foto di M. Rahmani).



Fig. 22: SiS.17.33.38, pestello in breccia (foto di M. Rahmani).



Fig. 25: SiS.17.33.42, peso da telaio in argilla (foto di M. Rahmani).

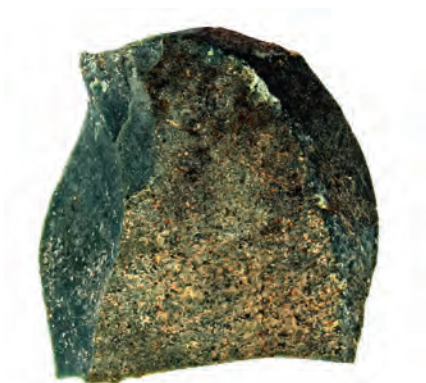


Fig. 26: SiS.17.33.43, scarto di lavorazione in selce (foto di M. Rahmani).



Fig. 28: SiS.17.33.48, lama in pietra (foto di M. Rahmani).



Fig. 30: SiS.17.33.50, perla cilindrica in steatite (foto di M. Rahmani).

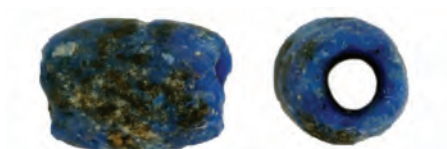


Fig. 27: SiS.17.33.46, perla cilindrica in lapis lazuli (foto di M. Rahmani).



Fig. 29: SiS.17.33.49, scarto di lavorazione in selce (foto di M. Rahmani).



Fig. 31: SiS.17.33.56, punta di freccia in selce (foto di M. Rahmani).



Fig. 32: SiS.17.33.57, oggetto indeterminato in calcare (foto di M. Rahmani).



Fig. 33: SiS.17.33.58, peso ovoidale in pietra (foto di M. Rahmani).



Fig. 34: SiS.17.33.61, punta di freccia in selce (foto di M. Rahmani).



Fig. 35: SiS.17.33.64, peso ovoidale con base in calcare (foto di M. Rahmani).

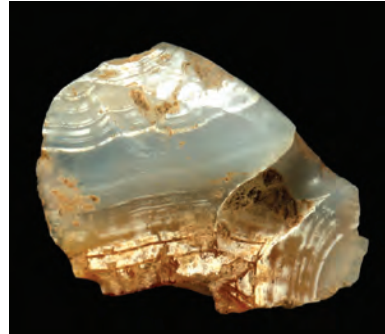


Fig. 36: SiS.17.33.66, perla in alabastro (foto di M. Rahmani).



Fig. 37: SiS.17.33.72, lama in selce (foto di M. Rahmani).

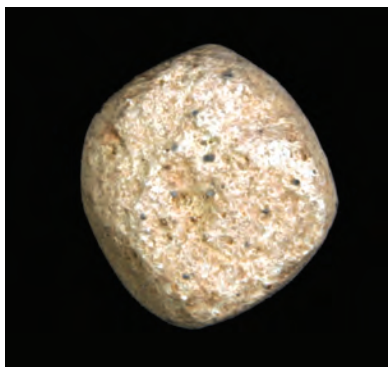


Fig. 38: SiS.17.33.64, gettone in calcare (foto di M. Rahmani).



Fig. 39: SiS.17.33.75, gettone in steatite (foto di M. Rahmani).



Fig. 40: scoria di lavorazione (foto di M. Rahmani).



Fig. 41: SiS.17.33.83, lama in selce (foto di M. Rahmani).

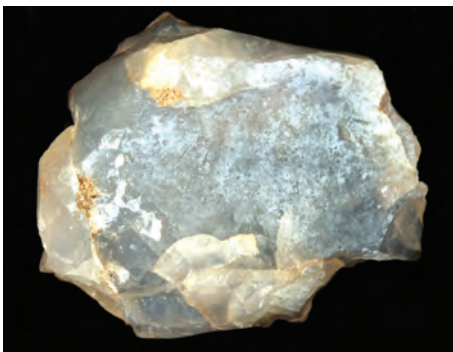


Fig. 42: SiS.17.33.84, lama in selce (foto di M. Rahmani).



Fig. 43: SiS.17.33.85, o lama non finita (foto di M. Rahmani).



Fig. 44: SiS.17.33.87, oggetto indeterminato in quarzo (foto di M. Rahmani).

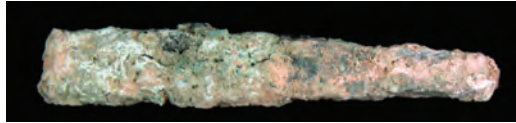


Fig. 46: SiS.17.33.92, punteruolo in bronzo (foto di M. Rahmani).



Fig. 45: SiS.17.33.90, lama in selce (foto di M. Rahmani).



Fig. 47: SiS.17.33.93, lisciatoio in pietra (foto di M. Rahmani).



Fig. 48: SiS.17.33.94, gettone sferico in calcare (foto di M. Rahmani).



Fig. 49: SiS.17.33.107, gettone in pietra (foto di M. Rahmani).



Fig. 50: SiS.17.33.111, gettone in calcare (foto di M. Rahmani).



Fig. 52: SiS.17.33.117, panetto triangolare in calcare (foto di M. Rahmani).



Fig. 51: SiS.17.33.114, lama in selce (foto di M. Rahmani).



Fig. 53: SiS.17.33.120, figurina fittile zoomorfa (foto di M. Rahmani).



Fig. 54: SiS.17.33.123, perla ovoidale in turchese (foto di M. Rahmani).



Fig. 55: SiS.17.33.124, perla cilindrica in alabastro (foto di M. Rahmani).



Fig. 56: SiS.17.33.125, pestello in calcare (foto di M. Rahmani).



Fig. 57: SiS.17.33.126, pestello in calcare (foto di M. Rahmani).



Fig. 58: SiS.17.33.127, peso sfendonoide in calcare (foto di M. Rahmani).

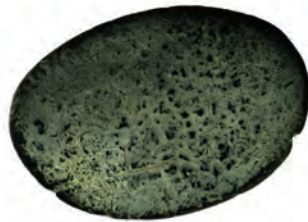


Fig. 59: SiS.17.33.141, gettone in calcare (foto di M. Rahmani).



Fig. 60: SiS.17.33.142, gettone in calcare (foto di M. Rahmani).



Fig. 61: SiS.17.33.143, gettone di breccia (foto di M. Rahmani).



Fig. 62: SiS.17.33.145, pestello in calcare (foto di M. Rahmani).



Fig. 63: SiS.17.33.147, pestello in breccia (foto di M. Rahmani).



Fig. 64: SiS.17.33.148, pestello in breccia (foto di M. Rahmani).

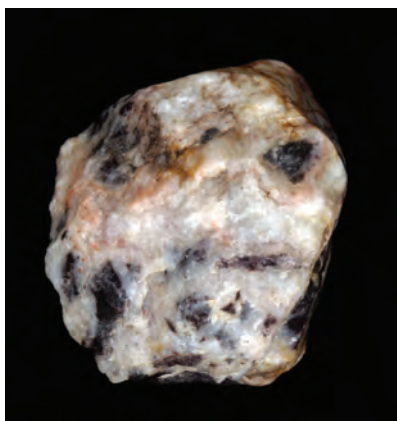


Fig. 65: SiS.17.33.149, oggetto indeterminato in pietra vulcanica (foto di M. Rahmani).